

序

这本小冊子自1958年1月出版以后，迄今已近四年。从各单位来信詢問再版的訊息和某些企业以油印方式分发使用种种情况看来，这本书确如初版序言中所述，是能够供电力系統各局、厂、线路工区試驗及維护檢修人員参考的。

今年在貫彻党的調整、巩固、充实、提高的八字方針之下，我们认为应将本书修訂后加以再版。此次修訂中，书中的第六章更动較大；这是因为在1959年我国石油工业部頒布了“石油产品試驗方法”，其中有石油产品取样法(SYB2001-59)及变压器油耐电压(应称为击穿强度)試驗法(SYB2653-59)与本书第六章有关，此外我局于1960年拟訂了变压器油工頻介质損失($\tg\delta$)和介电常数(ϵ)的測量方法草案，这些新材料都包括在修訂后的第六章內。

虽然經過一番努力，想把本书存在的所有錯誤加以訂正，但可能还有疏忽遺漏及限于水平而未能发现之处，希讀者不吝指正。

目 录

第一章 絶緣搖表試驗	1
第一节 概論	1
第二节 試驗步驟	4
第三节 注意事項	5
第四节 各種因素對絕緣電阻的影響	5
第五节 吸收試驗反映B級絕緣和A級絕緣局部缺陷及其受潮程度的作用	7
第二章 泄漏電流試驗	8
第一节 概論	8
第二节 几種試驗接線的比較	9
第三节 試驗步驟	19
第四节 注意事項	20
第五节 影響試驗結果的因素	21
第三章 介質損失角試驗	23
第一节 概論	23
第二节 介質損失角與頻率及溫度的關係	27
第三节 試驗方法	28
第四节 測量介質損失角的一般注意事項	38
第五节 介質損失角試驗與設備局部缺陷的關係	39
第四章 電容比試驗	43
第一节 概論	43
第二节 試驗方法	45
第三节 影響測量結果的因素	48
第四节 用電容比法試驗A級絕緣受潮的效能	49
第五章 交流耐压试驗	59

第一节	概論	50
第二节	試驗方法及接綫	51
第三节	操作步驟	54
第四节	注意事項	55
第五节	直流耐壓試驗及其在旋轉電機預防性試驗中的作用	60
第六节	匝間絕緣的感應工頻耐壓試驗	61
第六章	絕緣油試驗	62
第一节	概論	62
第二节	取樣	63
第三节	擊穿強度試驗	64
第四节	絕緣油的工頻介質損失角和介電常數試驗	66
第五节	絕緣油的劣化及其介質損失角增高的原因	69
附录	介質損失角溫度換算系數表	71

第一章 絶緣搖表試驗

第一节 概論

外電場作用于電介質所發生的基本特性過程，是產生介質的極化，即介質中固有的相互制約的電荷發生位移，或使介質中的偶極子轉動。當作用電壓並不太大時，電介質的束縛電荷按其所受作用力的方向發生位移，電壓愈高，即電場強度越強，位移就越大。正電荷沿電場方向位移，負電荷則沿反方向位移。這種極化過程極為短暫，在一般電氣測量中可看成是瞬間完成的。因這種極化而生的電流普通稱為幾何電流，其對時間的變化曲線，如圖1-1所示。

電介質中的偶極子在外電場作用下將沿電場的方向而轉動，其極化時間依偶極子的電矩、分子的熱運動以及介質的粘度而不同，但比上述的那種極化時間要長。

在外電場作用下，電介質中的束縛離子將隨電場的方向發生彈性位移。

如果絕緣是由不同介質複合而成，因為兩種介質的介質常數和導電率的不同，電壓的分布開始決定於其電容量（即介質常數），經過一段足夠長的時間以後，就決定於其導電率。當電壓從第一種分布，過渡到第二種分布時，在兩種不同介質常數的介質的交界面上的電荷必須移動，以適應電壓的重

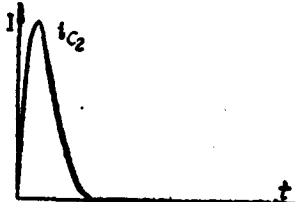


圖1-1 在直流電壓下固体介質內幾何電流對時間的變化

行分布；同时，介质内部因此而产生电流。由以上三种极化所产生的电流称为吸收电流，它也随加压时间的增长而减小，但比充电电流慢得多，并决定于介质的不均匀程度和介质的结构形态。其对时间的变化曲线如图1-2所示。

通常工程上所用的介质，并非纯粹的绝缘体，里面还有极少数的束缚很弱的或自由的离子。当电压作用在介质上时，正负离子就分别向两极逐步移动。

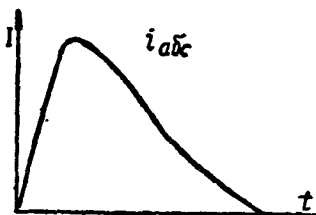


图 1-2 在直流电压下固体介质内吸收电流对时间的变化

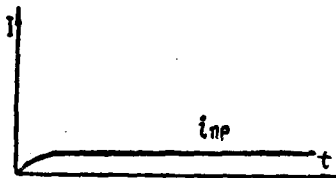


图 1-3 在直流电压下固体介质内传导电流对时间的变化

这些离子移动所产生的电流称为传导电流，它在经过一定时间的加压后即趋于恒定，其值决定于介质在直流电场内的导电率。传导电流对时间的变化曲线如图 1-3 所示。

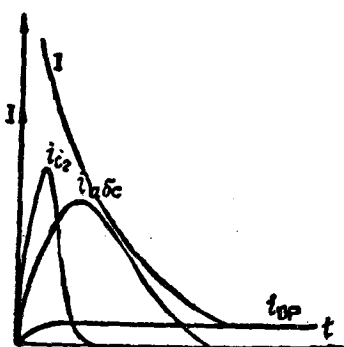


图 1-4 直流电压下固体介质内所产生的电流的总和

綜合上述，当直流电压作用于任何介质上时，通过的电流可分为三部分：传导电流往往与介质表面的清洁情况及受潮有关，它是瞬变現象完結以后仅存在的电

流；吸收电流和几何电流与受潮也有关系，是一个暂态現象，施加直流电压以后，电流升至定值，然后随时间的增长而逐渐减小，在相当长时间的加压后，趋近于零。这三个电流的总和，如图1-4所示。

所謂絕緣电阻試驗，就是用絕緣电阻来表示与時間无关的传导电流。当介质受潮、脏污或开裂以后，介质內的离子增加，因而传导电流剧增，絕緣电阻当然就小了，所以由絕緣电阻的大小，可以初步了解絕緣的情况。

在絕緣搖表試驗中，一方面可以求得加压到一定時間后的絕緣电阻值，同时还可以求得絕緣电阻与加压時間的关系。表示这一关系的曲綫称为吸收曲綫。由吸收曲綫的衰減情况，可以判断絕緣的受潮情况以及絕緣內部有无局部缺陷存在。这可以从下面的关系式中看出来，

$$R_{\infty}/R_0 = 1 + \frac{I_{ao}}{I_{np}},$$

式中 I_{np} ——传导电流；

I_{ao} ——几何电流加吸收电流的起始值；

R_0 ——加压瞬间(即 $t_1 \rightarrow 0$)时的絕緣电阻值；

R_{∞} ——测量过程終了(假設 $t_2 \rightarrow \infty$)时的絕緣电阻值。

絕緣受潮程度增加时，传导电流經常比吸收电流的起始值增长得快，因此在測量潮湿絕緣时， R_{∞}/R_0 的比值經常小些，而其极限为1。应用这一原理，由吸收試驗所得的結果，就可以很好的判断出絕緣的情况。显然，在絕緣的吸收試驗中， $R_{10\%}/R_{1s\%}$ 的数值一定比 R_{∞}/R_0 的值要小一些。但 $R_{10\%}/R_{1s\%}$ 的比值和受潮程度的关系，基本上仍然和 R_{∞}/R_0 的比值和其受潮程度的关系一样，实际上要測出 R_{∞}/R_0

的比值是有困难的。因此，在預防性試驗中采用 $R_{60''}/R_{15''}$ 的比值，这样并不会影响其实用价值。

第二节 試驗步驟

1. 拆除被試物的电源及一切对外联綫后，应将被試物接地放电，放电时间至少1分钟，电容量較大的被試物至少2分钟。

2. 用干燥、清洁的柔軟布，擦去被試物表面的污垢。
3. 将搖表放在水平位置，并在額定轉速下調整指針到“ ∞ ”。

4. 将被試物接地綫接于搖表的“地”(“E”或“3”)柱上，被試物引出綫接于搖表的“綫”(“L”或“J”)柱上。如被試物接綫端可能产生表面泄漏电流时，应加遮蔽，接于搖表的“保护”(“G”或“9”)柱上。如图1-5所示。

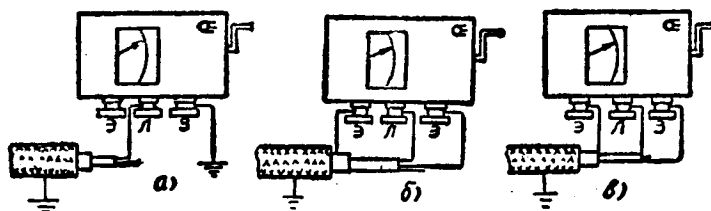


图 1-5 用搖表測絕緣电阻的接綫图
a—測对地絕緣；b,c—測相間絕緣，加以保護。

5. 以恆定速度轉動搖表把手(約每分钟 120 轉)，搖表指針逐漸上升，待 1 分钟后，記錄其絕緣电阻值。

6. 在录制吸收曲綫时，为了在开始計算时间时，就能在絕緣上加上全部試驗电压，应于搖表接地側裝一絕緣良好的刀閘。当搖表达額定轉數后合上刀閘，同时开始計算时间，

在1分钟內，每15秒钟記錄一次讀數。

7.試驗完毕或重複試驗時，必須將被試物對地充分放電，至少2分鐘。

8.記錄被試物溫度和氣候情況。

第三节 注意事項

1.雙回路架空送電線或母線當一路帶電時，不得測另一路的絕緣電阻，以防止感應高壓、損壞儀表或危害人身安全。在下列極個別情況下，可考慮帶電測絕緣電阻，並採用帶電作業的措施。

(1)不可能全部停電的雙回路架空輸電線路或母線，當確認為被試線路感應電壓不高時。

(2)短路干燥發電機的電壓不高時。

2.搖表接線端及接地端的引出線不要靠在一起，如接線端引出線必須經其他支持物才能和被試物接觸時，必須用絕緣良好的支持物。

3.轉動速度應尽可能保持額定值，並維持均勻轉速，不得低於額定值的80%。

4.測量電容量較大的設備如大容量的發電機、較長電線或電容器的絕緣時，最初充電電流很大，因而搖表指示數很小，但這並不表示被試物絕緣不良，必須經過較長時間，才能得到它的正確結果。

5.如所測絕緣電阻過低，應分部試驗，找出絕緣電阻最低部分。

第四節 各種因素對絕緣電阻的影響

1.溫度對絕緣電阻的影響

絕緣物的吸潮量，隨濕度的變化而變化。當空氣相對濕度大時，絕緣物由於毛細管作用，吸收較多水分，致使導電率增加，降低了絕緣電阻值，尤其是對表面泄漏電流的影響更大。

2.溫度的影響

絕緣物的絕緣電阻，是隨著溫度的變化而變化的，其變化程度又隨絕緣的種類而異。富於吸濕性的材料，受溫度的影響最大，一般絕緣電阻隨溫度的上升而減少。這是因為溫度升高，加速了介質內部分子和離子的運動，同時絕緣內的水分，在低溫時和絕緣物相結合的緣故。當溫度上升時，水分即向電場兩極伸長，這樣在纖維物質中呈細長線狀的水分粒子伸長，因而增加其導電性。此外，水分中含有溶解的雜質或絕緣物內含有鹽類、酸性物質，被水分解，亦會增加導電率，而降低絕緣電阻值。例如，發電機當溫度每變化8~10°C時，絕緣電阻降低一倍。

在預防性試驗中，為了便於比較不同溫度下的試驗結果，對於發電機絕緣以75°C為標準時，應按下列經驗公式進行換算。

$$M\Omega_{75} = \frac{M\Omega_t}{\frac{75-t}{10}}$$

式中 $M\Omega_{75}$ ——溫度在75°C時之絕緣電阻(兆歐)；

$M\Omega_t$ ——溫度為 $t^{\circ}\text{C}$ 時所測得的絕緣電阻值(兆歐)；

t ——測定時之溫度($^{\circ}\text{C}$)。

對於A級絕緣的絕緣電阻換算式為：

$$R_s = R_1 10^{a(t_1 - t_2)}$$

式中 R_1 —— 温度为 t_1 时所测得的绝缘电阻值；

R_2 —— 换算至温度为 t_2 时的绝缘电阻值；

α —— 绝缘的温度系数，它随绝缘材料的种类而异，对于 A 级绝缘材料 $\alpha = 1/40$ 。

第五节 吸收试验反映 B 级绝缘和 A 级绝缘 局部缺陷及其受潮程度的作用

1. 吸收试验，反映 B 级和 B 级浸胶绝缘的旋转电机的局部缺陷和受潮程度最为灵敏。

由于近代的高压旋转电机的静子主绝缘，主要是采用連續云母带，而云母带是用胶将纸或绸布与薄片云母粘合而成的，其结构极不均匀，与纯云母性质不同。因而用云母带绝缘的电机，其吸收现象非常明显。发电机静子绝缘在制造过程中，已经过多次真空浸渍处理，其内部几乎无气泡和空隙，而云母本身又具有不易吸潮的特性，即使受潮，潮气亦不易深入，主要是沿着电场等位面分布（云母层之间）；除有局部缺陷，如绝缘发生裂纹等外，潮气夹杂物沿电力线方向并无伸长现象，因而 B 级和 B 级浸胶绝缘的电机受潮后，除非特别严重时，其吸收曲线基本上不改变。当局部缺陷及绝缘结合部分严重受潮时，将大大增加其传导电流，致使其吸收曲线改变。根据这一原理，对 B 级和 B 级浸胶绝缘的电机进行吸收试验，由其吸收比 $R_{60''}/R_{15''}$ 的变化，可以反映绝缘的情况。

2. A 级绝缘的设备（如变压器等）的吸收现象并不显著。

纤维质绝缘物的电气设备，如变压器等，其 $R_{60''}/R_{15''}$ 的数值和受潮程度的关系比较不显著。这是由于这类绝缘，当其受潮程度增长时，不单是传导电流增长，吸收电流亦同

时增长。此外，沒有受潮的变压器的吸收电流本来就小。又由于变压器的固体絕緣物是用棉紗、电纜紙等絕緣材料，而这些固体絕緣，仅为变压器絕緣的一小部分，其主要部分是由絕緣油組成，絕緣油是沒有吸收特性的(合成油除外)。同时沒有受潮的变压器等的纖維絕緣，是相当均匀的，即使浸入絕緣油后，也相差不大，因而吸收現象不显著。所以吸收試驗在判断变压器等纖維質絕緣的綫圈受潮上，不太灵敏(与B級絕緣相比較)，但仍具有相当的反映能力，因此，变压器的整体試驗中，利用吸收比的大小能有效的发现絕緣紙板、套管及綫圈上的油泥等局部缺陷。因为当这些部分有局部弱点存在时，其傳导电流大增，吸收比也就減小。虽然它在反映絕緣受潮程度方面較差，但能有效地发现局部缺陷，故在預防性試驗中仍应进行吸收試驗。

第二章 泄漏电流試驗

第一节 概 論

泄漏电流試驗的原理与搖表試驗完全相同。不过泄漏电流試驗中所用的直流电源，一般均由高压整流設備供給，用微安表来指示泄漏电流。它比搖表优越的地方是：試驗电压可随意調节和試驗电压高。对一定电压等級的被試物施以相应的試驗电压，可使絕緣本身的弱点更易显示出来。同时在升压过程中，可随时監視微安表的指数，以了解絕緣情况。另外微安表的讀数較搖表精密。

加直流电压于被試物时，其充电电流(几何加上吸收)会随着时间的增长而逐渐衰减至零，而傳导电流則保持不变。

微安表在加压一定时间后，读取其数值（一般为加压1分钟后的读数）。对于良好的绝缘物，其传导电流与一定的外施电压的关系应为一直线。

但是实际上泄漏电流与电压的关系曲线，仅在一定的范围内是类似直线的，超过此范围后，就会显著弯曲。如图2-1所示。当电压增加到B点以后，电子活动更加剧烈，此时电流的增长要比电压增长快得多，如图2-1中BC线段所示。到C点以后，如果电压再增加，则电流急剧增长，产生更多的损耗，以至绝缘物破坏，发生击穿。

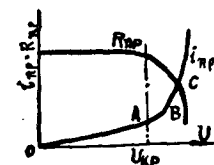


图 2-1 绝缘电阻和传导电流与外施电压的关系

在预防性试验中，泄漏试验所加的直流电压，大都在A点以下，故对绝缘良好者，其伏安特性应近于直线关系。当然，绝缘有缺陷（全部或局部）或受潮的现象存在时，则传导电流将急剧增加，而其伏安特性曲线就不再成为直线关系了。因此，泄漏试验可以分析绝缘有无缺陷和受潮现象存在。在发掘绝缘局部缺陷上，泄漏电流试验就更具有其特殊的意义了。

第二节 几种试验接线的比较

泄漏电流试验接线图，根据微安表及整流管所处位置的不同，可有6种接线方式。但严格的说来只有两种，即按微安表所处位置的不同而分。因为整流管所处位置仅决定于试验变压器的条件，如试验变压器为二个高压出头，且一头套管能承受二倍试验电压而另一头能承受试验电压时，则可尽量地将高压整流管灯丝接地，因为这样可以降低灯丝变压器的绝缘强度。

下面对各种不同接线的优缺点加以研究：

1. 微安表处于高压端

图 2-2 中的 K 是高压整流管，是发生高压直流电源的主要设备。 TP 是高压试验变压器。 TK 是灯丝变压器，其容量及电压之大小，可根据整流管的灯丝电压及电流而定，其绝缘情况的要求（需承受高压抑或低压），则决定于整个设备线路的设计。 R_g 是保护电阻，用以限制被试物击穿时的短路电流，来保护高压变压器及微安表，其值可用每伏 10 欧。 C 是稳压电容器，一般需要 $0.01 \sim 0.1$ 微法，其耐压强度必须能承受最大直流试验电压。如无合适的电容器，可用几个电压较低的电容器串联，但仍须注意其绝缘强度与电压分布，使不致引起击穿。

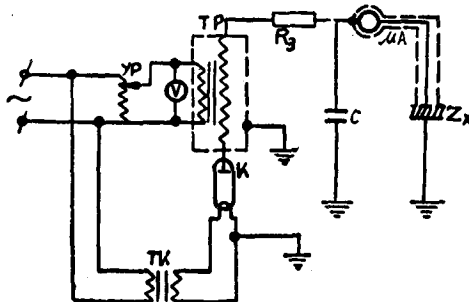


图 2-2 整流管灯丝在低压微安表处于高压时的泄漏试验接线图

在整流装置（尤其是半波整流装置）中若无稳压电容器，而被试物的电容又很小时，输出的直流高压（即加于被试物上的电压）的平均值，一般可能低于根据交流计算的波峰值的 $10 \sim 40\%$ ，使试验结果发生误差，兹略述如下：

设被试物的电容量为 C ，在充电半波时，其两端电压

为 $U_x = \frac{Q}{C}$, Q 为充电电荷量, 在非充电半波时, 若充电电荷毫无逸出, 即 Q 值不变, 则加于被试物上的电压可保持恒定不变, 如图 2-3 实线所示。

但事实上充电电荷在非充电半波时, 常常有电荷逸出, 因此被试物承受的电压值随之下降。如图 2-4 所示, 其每周波的平均电压值为 U 。

因 $U_x = \frac{Q}{C}$, 由此可见, 在给定的每周波逸出电荷量条件下, 电容量较小的被试物, 其充电量 Q 也小, 故充电量 Q 的减小, 影响电压值较大。应用并联稳压电容器的目的, 在于减少这种误差。对于发电机、变压器及长电缆等被试物而言, 因其本身电容量较大, 受此影响较小, 故稳压电容器 C 可省略不用。

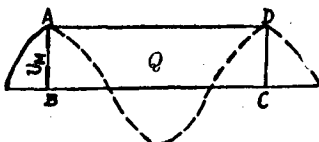


图 2-3 非充电半波时, 充电
电荷毫无逸出时的输出
电压波形

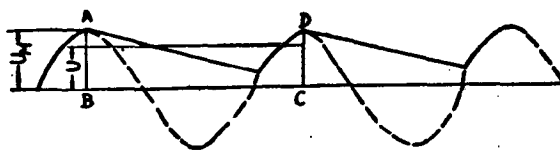


图 2-4 非充电半波时, 充电电荷有逸出时的输出
电压波形

图 2-2 的整流装置线路中, 除去由于半波整流引起的误差外, 高压试验变压器的高压线圈对地电容 C_{mp} 及对地绝缘电阻 R_{mp} 也会引起误差。今分述如下: 图 2-5 的线路和图 2-2 完全一样, 只是这里的被试物以 C_x 及 R_x 并联的等值电路

来表示，而高压試驗变压器的高压線圈对地电容及对地絕緣电阻則以 C_{mp} 及 R_{mp} 并联的等值电路来表示。因为半波整流引起的誤差与被試物的絕緣电阻 R_x 及 R_{mp} 有关，故在理想的情况下，当 $R_x = \infty$ 和 $R_{mp} = \infty$ 时，这种誤差就沒有了。而高压試驗变压器的高压線圈对地电容 C_{mp} 引起的誤差，则与 C_x 和 C_{mp} 的大小有关。

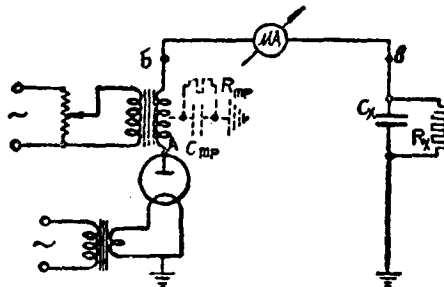


图 2-5 灯絲接地时的整流装置线路

图 2-5 所示的线路中，在第一个四分之一周期完了时， A 点的电位几乎等于大地的电位，而 B ， B 的电位 $U_n = 1.41 U_{\phi\phi}$ ，极性为负。 $U_{\phi\phi}$ 为变压器高压侧的电压有效值。

在第三个四分之一周期完了时， A 和 B 之間的电压为 U_n ，其极性和第一个四分之一周期完了的极性相反。全部过程如图 2-6 所示，图中左面表示第一个四分之一周期的情况，右面表示第三个四分之一

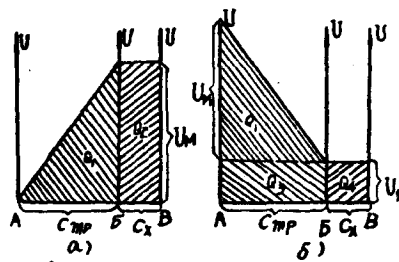


图 2-6 电位变化图

a—充电时；b—未充电时。

周期的情况。

在电压波經過零时，电容 C_x 和 C_{mp} 总的电荷为 $Q_1 + Q_2$ ，并且保持恆定不变，电荷又不可能由 A 点經整流管到地跑掉，变压器两套管間的电压为零。假定由于半波整流引起的泄漏电流(經电阻 R_x 及 R_{np}) 的誤差，可以略去不計，則由图2-6可得：

$$\begin{aligned} Q &= Q_1 + Q_2 = Q_1 + Q_3 + Q_4 = 0.5U_{\mu}C_{mp} + U_{\mu}C_x \\ &= (0.5C_{mp} + C_x)U_{\mu}, \end{aligned} \quad (2-1)$$

式中 Q_1 ——在第一个四分之一周期完了时，电容 C_{mp} 的电荷；

Q_2 ——同上一時間內的电容 C_x 上的电荷；

Q_3 ——第三个四分之一周期完了时，电容 C_{mp} 的电荷；

Q_4 ——同上一時間內的电容 C_x 上的电荷。

电荷 Q_3 以頻率为50赫芝来回流动于电容 C_x 到电容 C_{mp} 之間，形成回路中的电容电流，然而这个电流并不致引起电磁式微安表指針的摆动。此电流的大小和 C_x 与 C_{mp} 的比值及其絕對值以及 U_{μ} 的大小有关。

此外，电荷 Q_3 的来回流动，会引起电容 C_x 负电位的脉动，如图 2-7 所示。如果在第一个四分之一周期完了时它的电位等于 U_{μ} ，那么在第三个四分之一周期完了时就减小到 U_1 。



图 2-7 被試物上电压波形图

因为电容 C_x 电位的波动，所以在电容 C_x 上一个周期内电位的平均值为：

$$U_{cp} = \frac{U_m + U_1}{2},$$

式中 $U_1 = \frac{Q_2 + Q_3}{C_{mp} + C_x} = \frac{Q_2}{C_{mp} + C_x} = \frac{U_m C_x}{C_{mp} + C_x}$,

由此 $U_{cp} = 0.5 \left(1 + \frac{C_x}{C_{mp} + C_x} \right) \cdot U_m.$ (2-2)

以 K_c 代表 $\left[0.5 \left(1 + \frac{C_x}{C_{mp} + C_x} \right) \right]$ ， K_c 为此种线路的误差系数。

则 $U_{cp} = K_c \cdot U_m.$

即一极接地的整流线路中，电容 C_x 的平均电位小于变压器两端最大值的 K_c 倍。由于平均电位的减小，当然流过电阻 R_x 的平均泄漏电流也减小了。

如果电阻 R_x 的伏安特性曲线是直线性的，则下列关系是正确的。

$$I = \frac{U_{cp}}{R_x} \text{ 及 } I_m = \frac{I}{K_c},$$

式中 I ——电磁式仪表测得的一周期内电容 C_x 绝缘的泄漏电流的平均值；

I_m ——假定没有电容 C_{mp} 的影响，通过电容 C_x 绝缘的泄漏电流。

这样预先用高压电桥测出电容 C_x 和 C_{mp} 的数值，并按图 2-8 的曲线找出 K_c 加以校正，就可以大大的减少这种接线所引起的误差。在实际工作中，并不应用这种校正，而是增加高压电容值($C + C_x$)。很明显，如果 $C_x > C_{mp}$ ，那么 $K_c \approx$